УЛК 536.245.022

# СНИЖЕНИЕ МАКСИМАЛЬНЫХ ТЕМПЕРАТУР ПОВЕРХНОСТИ ПРИ СВЕРХЗВУКОВОМ ОБТЕКАНИИ ЗАТУПЛЕННОГО ПО СФЕРЕ КОНУСА

© 2021 г. В. И. Зинченко<sup>1, \*</sup>, В. Д. Гольдин<sup>1, \*\*</sup>

<sup>1</sup>Томский государственный университет, Томск, Россия \*E-mail: vladislav.zinchenko@bk.ru \*\*E-mail: vdg@math.tsu.ru
Поступила в редакцию 28.11.2019 г.
После доработки 28.11.2019 г.
Принята к публикации 10.03.2020 г.

Рассмотрена сопряженная задача нестационарного теплообмена при сверхзвуковом обтекании затупленного по сфере конуса при большом числе  ${\rm Maxa}~({\rm M}_{\infty}=9.9).$  В этом случае максимальные температуры обтекаемой оболочки могут достигать температуры разрушения материала и важно оценить возможные способы их снижения. Обобщенные критериальные зависимости, полученные на основе численных расчетов нестационарной задачи в сопряженной постановке, позволяют оценить необходимое снижение максимальной температуры поверхности тела за счет выбора геометрических характеристик тела и теплофизических характеристик материалов для сферической и конической областей тела.

#### **DOI:** 10.31857/S0040364421010178

#### **ВВЕДЕНИЕ**

Требование сохранения геометрии летательного аппарата при больших временах движения вызывает необходимость использования различных материалов, в том числе высокотеплопроводных, обеспечивающих наряду с переизлучением поверхности тела снижение максимальных температур лобовой части [1—5].

Используя отработанную технологию решения задач в сопряженной постановке [6, 7], важно оценить возможности управления температурными режимами обтекаемых тел и получить критериальные зависимости для инженерных оценок максимальных температур  $T_w$ .

## ПОСТАНОВКА ЗАДАЧИ

Рассматривается сверхзвуковое обтекание затупленных по сфере конических тел с углом полураствора  $5^{\circ}$ , радиусом сферического затупления  $R_N$  и различными длинами  $z_c = 5$ , 10, 20 при нулевом угле атаки. Лобовая часть тела выполнена из сплошного материала, а на боковой части (при  $z > z_0$ ) имеется коническая оболочка постоянной толщины L, причем материалы в этих областях могут быть различными (рис. 1). Внутренняя часть тела представляет собой конус с торцевым затуплением. Все линейные размеры отнесены к  $R_N$ . Расчет течения в ламинарном пограничном слое проводился как в [1, 6], а тепловое поле в обтекаемой

оболочке описывалось уравнениями теплопроводности, которые в предположении постоянства теплофизических характеристик материала имеют вид

$$\frac{1}{S_1} \frac{\partial \theta_1}{\partial \tau} = \frac{1}{r} \frac{\partial}{\partial \tau} \left( r \frac{\partial \theta_1}{\partial r} \right) + \frac{\partial^2 \theta_1}{\partial z^2},\tag{1}$$

$$\frac{\lambda_{s1}}{\rho_{s1}c_{s1}} \frac{\rho_{s2}c_{s2}}{\lambda_{s2}} \frac{1}{S_1} \frac{\partial \theta_2}{\partial \tau} = \frac{1}{r} \frac{\partial}{\partial \tau} \left( r \frac{\partial \theta_2}{\partial r} \right) + \frac{\partial^2 \theta_2}{\partial z^2}.$$
 (2)

Здесь 
$$\theta_i = \frac{T_i}{T_{e0}};$$
  $S_i = \frac{\lambda_{si}}{\sqrt{\rho_{e0}\mu_{e0}V_mR_N}} \frac{T_{e0}}{h_{e0}};$   $\tau =$ 

$$= \frac{\lambda_{s1}t}{\rho_{s1}c_{s1}R_N^2} \frac{1}{S_1}; T-\text{температура}; t-\text{время}; z, r-\text{гео-метрические координаты (рис. 1), отнесенные к  $R_N$ ;  $\lambda_s, \rho_s, c_s-$  коэффициент теплопроводности, плотность и удельная теплоемкость твердого тела;  $h_{e0}$ ,  $T_{e0}-$  энтальпия и температура набегающего пото-ка в точке торможения:  $V_{e0}=\sqrt{2h_0}$ ;  $\rho_{e0}$ ,  $\rho_{e0}$$$

ка в точке торможения;  $V_m = \sqrt{2h_{e0}}$ ;  $\rho_{e0}$ ,  $\mu_{e0}$  — плотность и вязкость на внешней границе пограничного слоя в точке торможения; индексы i=1,2 отвечают расчетным областям тела (рис. 1).

В начальный момент времени задается температура тела

$$\theta_i(0,r,z) = \theta_{\text{ini}} = \frac{T_{\text{ini}}}{T_{e0}},$$

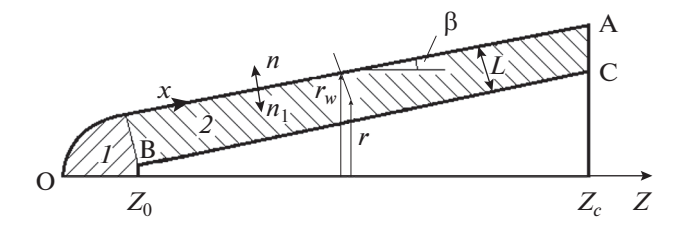


Рис. 1. Схема расчетной области.

где  $T_{\rm ini}$  — начальное значение температуры. В качестве граничных условий для уравнений (1), (2) на оси симметрии, внутренней поверхности оболочки и ее тыльной части (линия AC на рис. 1) задаются условия тепловой изоляции:

$$\frac{\partial \theta_i}{\partial n} = 0,$$

где дифференцирование ведется по нормали к соответствующей поверхности. На границе областей I, 2 используются условия сопряжения, а на границе раздела газовой и твердой сред выставляются граничные условия четвертого рода, т.е. равенство температур и тепловых потоков в пограничном слое и твердом теле:

$$\tilde{q}_{w} - \pi_{\sigma} \theta_{wi}^{4} = -S_{i} \frac{\partial \theta_{i}}{\partial n_{i}}.$$
 (3)

Здесь  $\tilde{q}_{_{\scriptscriptstyle W}}=rac{q_{_{\scriptscriptstyle W}}}{q_{_{\scriptscriptstyle W}}^*}$  — безразмерный тепловой поток

от пограничного слоя, 
$$q_w^* = \sqrt{rac{
ho_{e0}\mu_{e0}V_m}{R_N}}h_{e0},$$

$$\pi_{\sigma} = \frac{\varepsilon \sigma T_{e0}^4 \sqrt{R_N}}{h_{e0} \sqrt{\rho_{e0} \mu_{e0} V_m}}, \ \varepsilon$$
 — степень черноты поверхно-

сти тела,  $\sigma$  — постоянная Стефана—Больцмана,  $n_1$  — координата, отсчитываемая в глубь тела от его поверхности (рис. 1).

В переменных Дородницына-Лиза

$$\xi = \frac{x}{R_N}, \quad \zeta = \frac{u_e r_w}{\sqrt{2 \int_0^x \rho_e \mu_e u_e r_w^2 dx}} \int_0^n \rho dn$$

для безразмерного теплового потока имеем

$$\tilde{q}_{w} = \sqrt{\frac{u_{e}}{V_{m}}} \frac{\rho_{e}}{\rho_{e0}} \frac{\mu_{e}}{\mu_{e0}} \frac{1}{\alpha_{1}} \left( \frac{l}{\Pr} \frac{\partial \theta}{\partial \zeta} \right)_{w},$$

где 
$$\alpha_1 = \frac{2\int_0^\xi \rho_e \mu_e u_e r_w^2 d\xi}{\rho_e \mu_e u_e r_w^2};$$
  $l = \frac{\rho \mu}{\rho_e \mu_e};$   $\Pr$  — число Прандтля, равное  $0.72$  для воздуха;  $x$  — длина дуги

Прандтля, равное 0.72 для воздуха; x — длина дуги образующей поверхности тела; n — геометрическая координата, отсчитываемая внутрь погра-

ничного слоя от обтекаемой поверхности;  $\rho$  – плотность газа в пограничном слое;  $u_e$ ,  $\rho_e$ ,  $\mu_e$  – скорость, плотность и вязкость газа на внешней границе пограничного слоя.

Для случая единого материала в областях 1, 2 наряду с решением двумерного уравнения теплопроводности температура тела рассчитывалась по одномерной модели в естественной системе координат [1]:

$$\frac{1}{S}\frac{\partial \theta}{\partial \tau} = \frac{1}{g}\frac{\partial}{\partial n_{l}} \left(g\frac{\partial \theta}{\partial n_{l}}\right), \quad g = \left(1 - \frac{n_{l}}{R}\right) \left(1 - \frac{n_{l}\cos\alpha}{r_{w}}\right).$$

При этом остаются прежними начальные и граничные условия. Здесь R — радиус кривизны образующей поверхности тела,  $\alpha$  — угол между касательной к телу и осью симметрии,  $r_w$  — расстояние от поверхности тела до оси симметрии.

Решение уравнений теплопроводности определяется в основном параметрами сопряженности  $S_i$  и параметром  $\pi_{\sigma}$ , характеризующим излучение поверхности тела. В предельном случае ( $S_i = 0$ ) решение системы уравнений пограничного слоя с граничным условием (3) дает распределение радиационно-равновесной температуры поверхности  $\theta_{wr}(\xi)$ . Случай  $S_i \to \infty$  соответствует материалу с бесконечной теплопроводностью, при этом температура тела зависит только от времени, и уравнение для ее определения приведено в [1, 4].

## МЕТОДИКА РЕШЕНИЯ И ИСХОДНЫЕ ДАННЫЕ

Методика решения и алгоритм численного расчета краевой задачи в сопряженной постановке подробно представлены в [1]. Здесь отличительным моментом явилось сквозное определение поля температур в теле при различных коэффициентах  $\lambda_{si}$  в областях l, 2.

При проведении серийных численных расчетов использовались следующие входные данные:  $\mathrm{M}_{\infty}=9.9,\,p_{e0}=1.6$  бар,  $T_{\mathrm{ini}}=293$  K,  $\epsilon=0.8,\,z_0=0.96,\,L=0.5$ . Радиус затупления  $R_N$  принимался равным 0.005, 0.01, 0.04 м, базовая температура торможения  $T_{e0}=3250$  K. Также проводились расчеты при  $T_{e0}=1000,\,1500,\,2000$  K. Теплофизические характеристики материалов приведены в табл. 1 [8]. В случае различных материалов для сферической части использовалась сталь, а для конической — медь с характеристиками из табл. 1.

## АНАЛИЗ РЕЗУЛЬТАТОВ ЧИСЛЕННОГО РЕШЕНИЯ

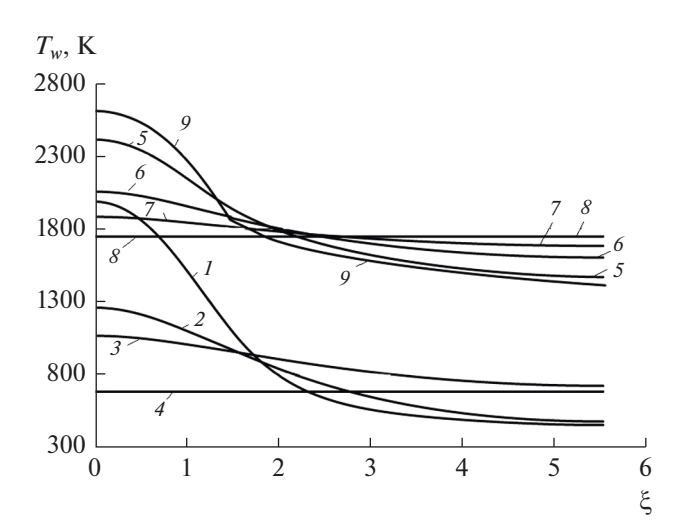
Рассмотрим вначале случай обтекания тела, выполненного из единого материала. В работе [1] при  ${\rm M}_{\infty}=6.1,\,T_{e0}=562~{\rm K},\,p_{e0}=2.2$  бар проведено сравнение расчетных и экспериментальных зна-

чений [9] коэффициента 
$$C_h = \frac{q_w}{\rho_{\infty} V_{\infty} c_p \left(T_{e0} - T_{w, \mathrm{ini}}\right)}$$

в зависимости от z в начальный момент времени, а затем рассмотрена эволюция температурного поля обтекаемых тел, выполненных из различных материалов, вплоть до выхода на стационарный режим. При этом значения определяющего параметра  $\pi_{\sigma}$  не превышали 0.38. При возрастании чисел Маха до 10 и высоте полета H=30 км [2] значения  $\pi_{\sigma}$  могут возрастать в несколько раз, поэтому необходимо дать оценку возможности управления температурными режимами тела для данных практически важных условий.

Для  $z_c = 5$ ,  $R_N = 0.01$  м при указанных выше параметрах торможения на рис. 2 приведены значения температур поверхности тела, выполненного из представленных в табл. 1 материалов. Здесь же показано распределение температуры стенки  $T_{wr}(\xi)$  при S=0 (кривая 9) и в предельном случае материала с бесконечной теплопроводностью —  $S \to \infty$  (кривые 4, 8). Серия кривых 5-8 отвечает стационарным значениям  $T_w(\xi)$  в момент времени t=250 с, а кривые l-4 соответствуют значениям  $T_w(\xi)$  при t=10 с.

Представленные результаты иллюстрируют возможности снижения максимальной температуры поверхности при выборе высокотеплопроводных материалов и носят модельный характер для уровня высоких температур, превышающих температуры разрушения материалов. Отметим, что максимальная температура достигается в критической точке.



**Рис. 2.** Температура поверхности тела из сталей Ст1 (1, 5) и Ст2 (2, 6), меди (3, 7) и материала с бесконечной теплопроводностью (4, 8) в моменты времени t=10 (1—4) и 250 с (5—8); 9— радиационно-равновесная температура.

Таблица 1. Теплофизические параметры материалов

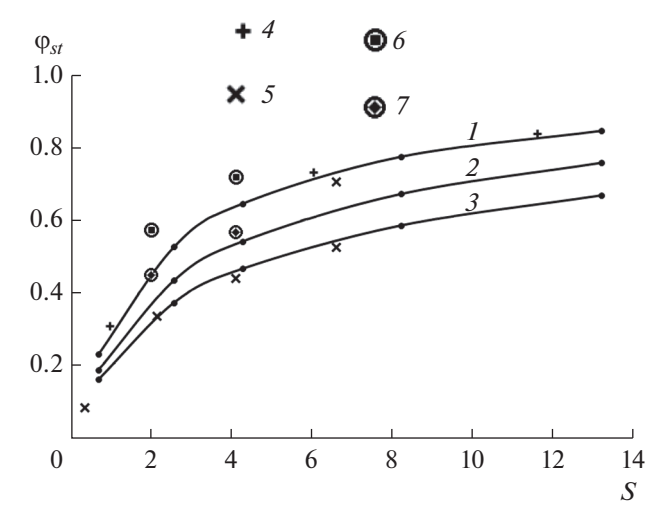
	$\lambda_s$ , Bt/(m K)	$\rho_s$ , кг/м <sup>3</sup>	$c_s$ , Дж/(кг K)
Сталь-1	20	7800	600
Сталь-2	125	7800	600
Медь	386	8950	370

Для оценки максимальной температуры при  $t \to \infty$  в критериальном виде на рис. 3, 4 представлены зависимости безразмерной температуры в критической точке

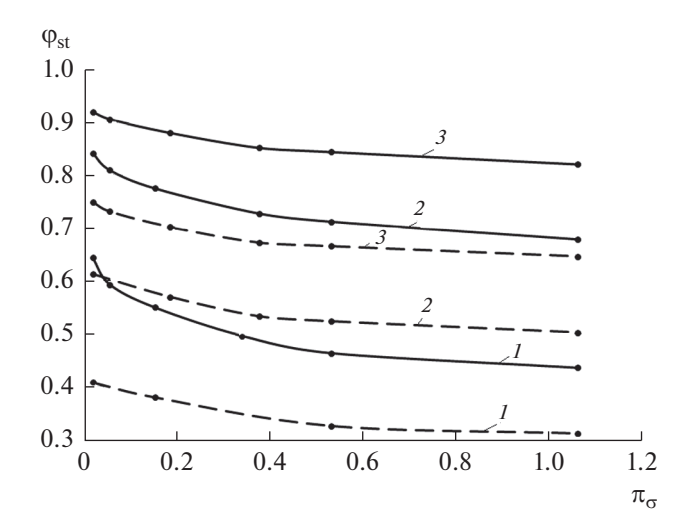
$$\varphi_{st} = \frac{\theta_{w0r} - \theta_{w0}}{\theta_{w0r} - \theta_{w0} \left(\lambda_s \to \infty\right)} \tag{4}$$

от основных определяющих параметров задачи S и  $\pi_{\sigma}$ . На рис. З  $\phi_{\rm st}$  приведена для различных удлинений конической части тела, и здесь же показано влияние параметра  $\pi_{\sigma}$ . При  $\pi_{\sigma} > 0.4$  кривые  $\phi_{\rm st}$  ведут себя линейным образом с близкими углами наклона для различных S и  $z_c$  (рис. 4).

Для предельных условий по S ( $\lambda_s = 0$  и  $\lambda_s \to \infty$ ) на рис. 5 приведены максимальные температуры в зависимости от параметра  $\pi_{\sigma}$  для различных удлинений конической части. При  $\pi_{\sigma} \ge 0.4~\theta_{w0}$  в случае  $\lambda_s \to \infty$  оказывается ниже радиационноравновесной температуры  $\theta_{w0r}$  на 30-50% в зависимости от  $z_c$ . При  $\pi_{\sigma} < 0.4$  результаты расчета согласуются с данными [1]. Здесь же для примера приведены данные расчетов для S = 6 (кривые 2), из которых следует, что при данных и меньших значениях параметра сопряженности S максимальная температура в критической точке слабо



**Рис. 3.** Зависимость безразмерной температуры  $\phi_{\rm st}$  от параметра сопряженности S: при  $\pi_{\sigma}=0.53$  и  $z_c=5$  ( I), 10 (2), 20 (3);  $4-\pi_{\sigma}=0.38$ , 5-1.06; и для составного материала при  $\pi_{\sigma}=0.53$ ,  $S_1=2$ , 4,  $S_2=13$  и  $z_c=5$  (6), 20 (7).

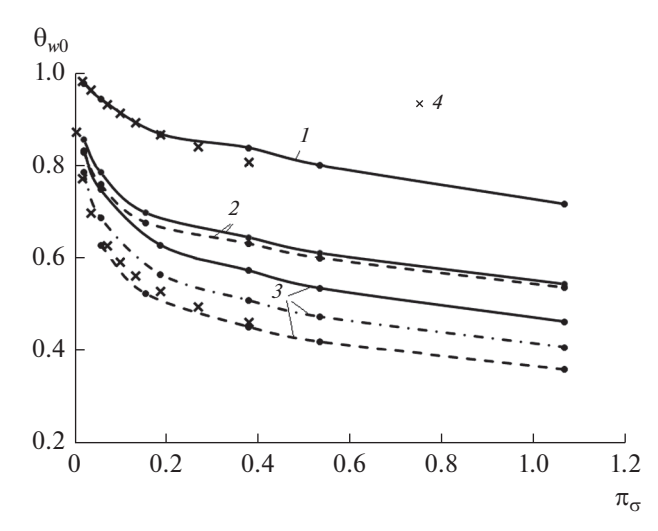


**Рис. 4.** Зависимость безразмерной температуры  $\varphi_{\rm st}$  от параметра  $\pi_{\sigma}$  при S=2 (1), 6 (2), 13 (3); сплошные кривые  $-z_c=5$ , штриховые -20.

зависит от удлинения конической части, а ее снижение по отношению к  $\theta_{w0r}$  при  $\pi_{\sigma} \ge 0.4$  составляет около 25%.

Отметим, что, используя критериальные зависимости, приведенные на рис. 3, 4, а также значения температуры, найденные для предельных условий по  $S(\theta_{w0}, \theta_{w0}(\lambda_s \to \infty))$ , из выражения (4) можно определить значение  $\theta_{w0}$  в расчетном диапазоне S,  $\pi_{\sigma}$ . Погрешность нахождения  $\theta_{w0}$  с учетом возможной линейной интерполяции по определяющим критериям не превышает 2%. Такой подход позволяет избежать массовых точных расчетов двумерной задачи теплопроводности в теле, в том числе при усложнении внутренней геометрии обтекаемой оболочки.

Влияние относительной толщины оболочки L на максимальную температуру  $\theta_{w0}$  представлено в табл. 2 для различных значений  $\pi_{\sigma}$  и S. Как и для базовой толщины L=0.5, при двух других значениях имеет место слабое влияние длины тела на  $\theta_{w0}$  при  $S \leq 6$  практически во всем расчетном диапазоне  $\pi_{\sigma}$ . При возрастании L ( $\geq 0.5$ ) наблюдается слабое уменьшение температуры  $\theta_{w0}$  для фиксированных значений S. В то же время в диапазоне  $0.1 \leq L \leq 0.5$  при возрастании L происходит суще-



**Рис. 5.** Стационарная температура в критической точке при S = 0 (I), 6 (2),  $\infty$  (3); сплошные линии  $-z_c = 5$ , штриховые -20, штрихпунктирные -10; 4 – результаты [1].

ственное снижение  $\theta_{w0}$ , что приводит в данных условиях к уменьшению максимальной температуры тела. Снижение температур  $\theta_{w0}$  может достигать 25—30% (табл. 2) от максимальных значений в зависимости от выбора определяющих параметров задачи.

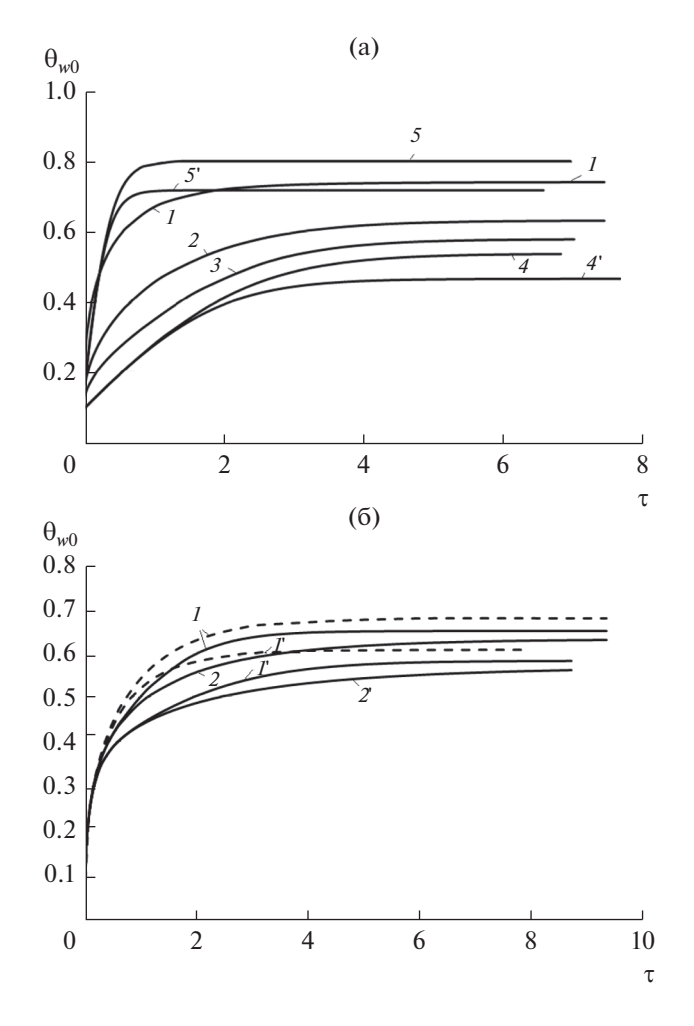
Рассмотрим далее температурный режим в окрестности лобовой критической точки для нестационарных условий и однородного материала обтекаемой оболочки. На рис. ба показана зависимость от времени безразмерной температуры  $\theta_{w0}(\tau)$  для различных материалов (кривые I-4), а также приведены данные одномерных расчетов (кривые 5, 5'). Здесь и ниже кривые со штрихами отвечают  $\pi_{\sigma}=1.06$ . В принятых переменных результаты одномерных расчетов для различных материалов ложатся практически на одну кривую при S>2. На нестационарном участке эффективность использования высокотеплопроводных материалов может значимо возрастать.

Как и в [1], введем нестационарный аналог функции  $\phi_{ct}$ 

$$\varphi_{\text{nst}} = \frac{\theta_{w01}(\tau, \lambda_s) - \theta_{w02}(\tau, \lambda_s)}{\theta_{w01}(\tau, \lambda_s) - \theta_{w02}(\tau, \lambda_s \to \infty)},$$
 (5)

**Таблица 2.** Максимальная температура поверхности  $\theta_{w0}$ 

$\pi_{\sigma}$	0.53					1.06						
S	4.3		13		4.1		13					
$\overline{L}$	0.1	0.5	0.8	0.1	0.5	0.8	0.1	0.5	0.8	0.1	0.5	0.8
$\theta_{w0}, z_c = 5$	0.67	0.63	0.62	0.62	0.58	0.57	0.60	0.57	0.56	0.55	0.51	0.51
$\theta_{w0},z_c=20$	0.67	0.63	0.61	0.61	0.55	0.53	0.60	0.56	0.55	0.54	0.49	0.48



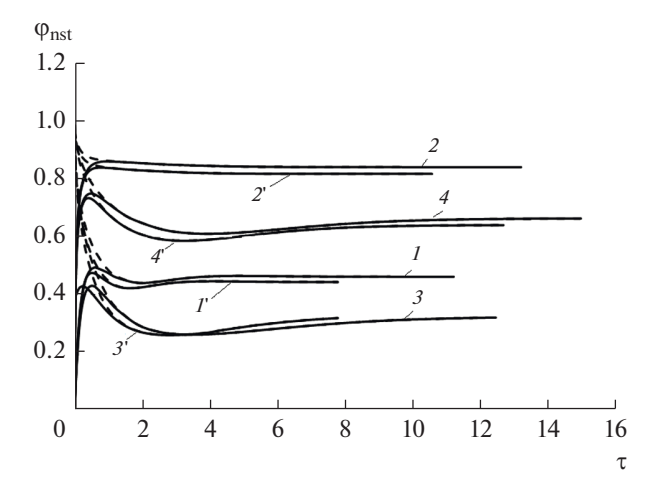
**Рис. 6.** Временная зависимость безразмерной температуры в критической точке тела с однородным (а) и составным покрытием (б) при  $\pi_{\sigma}=0.53$  (I,2) и 1.06 (I',2'): (а)  $z_c=5,\,I-S=0.69,\,2-4.3,\,3-13,\,4-\infty,\,5-$  одномерный расчет; (б)  $1-z_c=5,\,S_1=2,\,S_2=13;\,2-20,\,2,\,13;$  штриховые линии — однородный материал при S=2.

где индексы 1, 2 отвечают одномерному и двумерному случаям. На рис. 7 представлена временная зависимость  $\phi_{\rm nst}$ . Здесь для двух значений S=2, 13 при двух значениях удлинения  $z_c=5$ , 20 приведены кривые для  $\pi_{\sigma}=0.53$  и 1.06. Штриховыми линиями показана зависимость

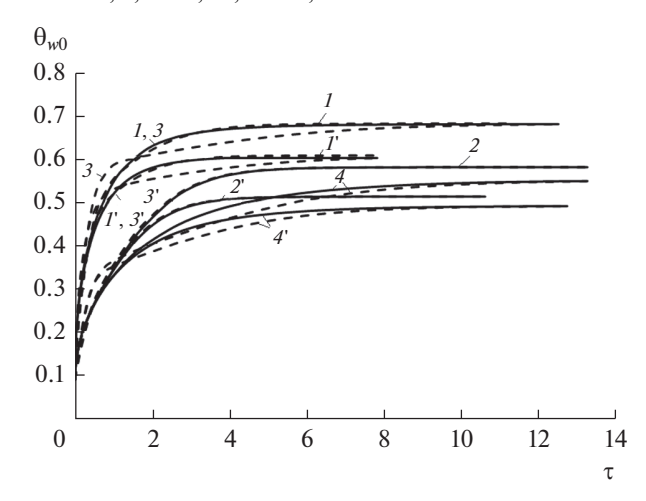
$$\tilde{\phi}_{nst} = \frac{\theta_{w0r} - \theta_{w02} \left(\tau, \lambda_s\right)}{\theta_{w0r} - \theta_{w02} \left(\tau, \lambda_s \to \infty\right)}.$$

При этом  $\tilde{\phi}_{nst}$  значительно отличается от  $\phi_{nst}$  в моменты времени, близкие к начальному, но при  $\tau \geq 2$  они практически совпадают, так как одномерный расчет быстро выходит на значение  $\theta_{w0r}$ 

Учитывая поведение функции  $\phi_{nst}$ , можно заметить, что для  $\tau \ge 1$  ее максимальное отличие от своего стационарного значения  $\phi_{st}$  не превышает 10%, что позволяет приравнять эти величины в расчетном диапазоне  $\tau$ . Тогда из (5) вытекает



**Рис.** 7. Временная зависимость  $\phi_{\rm nst}$  в критической точке при  $\pi_{\sigma}=0.53$  ( I-4) и 1.06 ( I'-4'): I-S=2,  $z_c=5$ ; 2-13, 5; 3-2, 20; 4-13, 20.

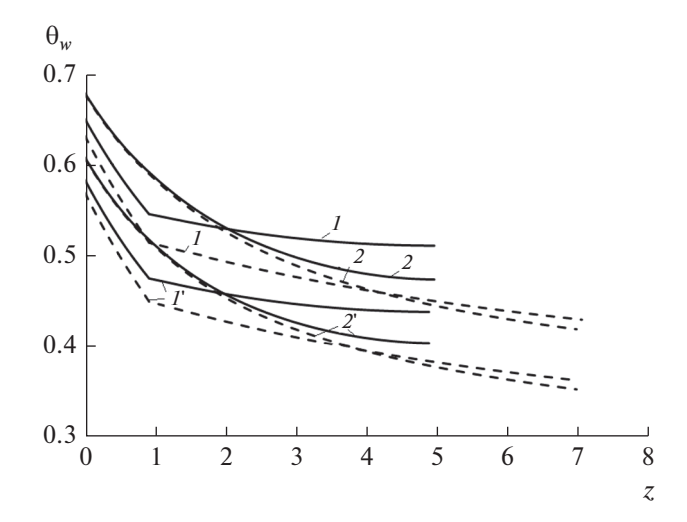


**Рис. 8.** Температура в критической точке в зависимости от времени при  $\pi_{\sigma}=0.53~(\emph{1-4})$  и 1.06 ( $\emph{I'-4'}$ ):  $\emph{1-4}$  — то же, что на рис. 7; штриховые линии — приближенное решение.

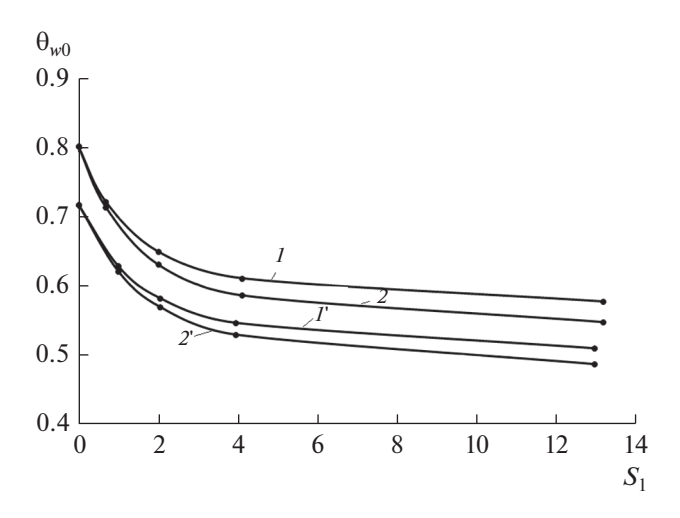
$$\theta_{w02}(\tau, \lambda_s) = \theta_{w01}(\tau, \lambda_s) - - \phi_{st} \left[\theta_{w01}(\tau, \lambda_s) - \theta_{w02}(\tau, \lambda_s \to \infty)\right].$$
 (6)

На рис. 8 для условий рис. 7 дано сравнение нестационарного численного решения (сплошные кривые) и приближенного, найденного из (6), (штриховые кривые). Видно, что приближенное решение дает высокую точность при  $z_c = 5$ , которая снижается при  $\tau < 8$  и  $z_c = 20$ .

Таким образом, для нестационарных условий обтекания тела может быть использован приближенный способ определения его максимальных температур, включающий определение  $\phi_{st}$  в стационарном случае и температуры поверхности тела в предельных случаях нетеплопроводного материала  $\theta_{w0r}$  и абсолютно теплопроводного тела  $\theta_{w02}(\tau, \lambda_s \to \infty)$ , а также результаты одномерного расчета температуры поверхности при отсутствии



**Рис. 9.** Распределение стационарной температуры вдоль поверхности тела из составного (*I*) и однородного (*2*) материалов при  $\pi_{\sigma} = 0.53$  (*1*, *2*) и 1.06 (*I*', *2*'): сплошные линии  $-z_c = 5$ , штриховые -20.



**Рис. 10.** Зависимость максимальной стационарной температуры от параметра сопряженности  $S_I$  при  $\pi_{\sigma}=0.53~(I,2)$  и 1.06 (I',2'):  $I,I'-z_c=5;2,2'-20$ .

продольного перетекания тепла по ней  $\theta_{w01}(\tau, \lambda_s)$ . Как указывалось выше, при  $\tau \ge 1$  значения  $\theta_{w01}(\tau, \lambda_s)$  могут быть заменены значением  $\theta_{w0r}$ .

Рассмотрим далее случай различных материалов сферической и конической частей. На рис. 66 представлена зависимость  $\theta_{w0}(\tau)$  для двух значений  $z_c$  (5, 20), двух значений  $\pi_{\sigma}$  (0.53, 1.06) при  $S_1=2$ ,  $S_2=13$ . Здесь же для сравнения приведены соответствующие зависимости  $\theta_{w0}$  для однородного материала  $S_1=S_2=2$  при  $z_c=5$  (штриховые линии). Таким образом, получается комбинация высокотемпературного (область 1) и высокотеплопроводного (область 2) материалов; такая комбинация обеспечивает снижение максимальной

температуры по отношению к однородному материалу на 4-7% в зависимости от  $z_c$ .

Распределение стационарной температуры поверхности  $\theta_{w}(z)$  для различных длин тела показано на рис. 9. Кривые 1, 1', имеющие разрыв производной, соответствуют различным материалам  $(S_1 = 2, S_2 = 13)$ , а кривые 2, 2' отвечают однородному материалу при  $S_1 = S_2 = 2$ . Как и выше, кривые без штрихов и со штрихами построены для  $\pi_{\sigma} = 0.53$  и 1.06 соответственно. Как и следовало ожидать, для однородного материала при S=2максимальная температура в окрестности критической точки при различных  $\pi_{\sigma}$  не зависит от длины тела  $z_c$ . В то же время использование различных материалов позволяет управлять снижением температуры поверхности  $\theta_{w0}$ . На периферийной конической части тела рост  $S_2$  вследствие повышения коэффициента теплопроводности материала обеспечивает рост температуры поверхности и выполаживание зависимости  $\theta_w(z)$ . Качественно такое поведение температуры в этой области отвечает зависимостям  $\theta_w(\xi)$  для различных  $\lambda_s$ , которые рассматривались при анализе рис. 2.

Интересно оценить влияние коэффициента теплопроводности в области 1 высокотемпературного материала и параметра  $S_1$  на максимальное значение  $\theta_{w0}$  при заданном значении  $S_2$  в области высокотеплопроводного материала. На рис. 3 для двух длин  $z_c$  (5, 20) показано значение  $\phi_{\rm st}$  при  $S_1=2$ , 4 (значки внутри кружков). Такая обработка отражает факт заметного снижения температуры  $\theta_{w0}$  по отношению к однородному материалу обтекаемого тела. Так, для  $z_c=5$  значения  $\theta_{w0}$  составляют 0.95 и 0.9 от максимальной температуры однородного материала при  $S_1=2$  и  $S_1=4$ . Если  $z_c=20$ , то это отношение равно 0.93 и 0.87 соответственно.

На рис. 10 показана зависимость  $\theta_{w0}$  от параметра  $S_1$  при заданном значении  $S_2=13$  для различных величин  $\pi_\sigma$  и  $z_c$ . При  $S_1 \ge 6$  максимальная температура меняется слабо в пределах 5%. Отсюда вытекает близкий к оптимальному уровню диапазон значений  $S_1$  (2—5), при котором заметно снижается уровень максимальных температур при соответствующем выборе высокотемпературного материала сферического затупления.

Таким образом, меняя соотношение коэффициентов теплопроводности материалов сферической и конической частей, можно влиять на снижение максимальной температуры в окрестности критической точки. При этом, как вытекает из рис. 6б, для нестационарного участка процесса это снижение может быть заметно большим.

# ЗАКЛЮЧЕНИЕ

Для нулевого угла атаки в области больших значений чисел Маха (до 10.0) и высоких температур торможения (до 3250 К) на высотах порядка 30 км рассмотрена залача снижения максимальной температуры поверхности затупленного по сфере конуса ниже температуры разрушения материала тела. На основе нестационарной задачи в сопряженной постановке изучены возможные способы управления температурными режимами за счет выбора теплофизических характеристик материала и геометрических характеристик модели: радиуса  $R_N$ , длины  $z_c$  и толщины оболочки L. Показано, что использование высокотеплопроводных материалов тела в целом либо комбинашии высокотемпературных материалов на затуплении и высокотеплопроводных на конической части дает возможность существенно снизить максимальную температуру лобовой критической точки. Построенные критериальные зависимости позволяют оценивать максимальные значения  $T_{w0}$  во всем диапазоне времен движения.

Оценено применение часто используемой одномерной модели распространения тепла в теле и показана возможность кратной ошибки в определении максимальных температур для перспективных высокотеплопроводных материалов.

#### СПИСОК ЛИТЕРАТУРЫ

1. Зинченко В.И., Гольдин В.Д. Решение сопряженной задачи нестационарного теплообмена при сверхзву-

- ковом обтекании затупленного по сфере конуса // ИФЖ. 2019. Т. 92. № 1. С. 137.
- 2. Гешеле В.Д., Полежаев Ю.В., Раскатов И.П., Стоник О.Г., Габбасова Г.В. Возможности повышения скорости полета гиперзвуковых летательных аппаратов // ТВТ. 2013. Т. 51. № 5. С. 798.
- 3. *Башкин В.А., Решетько С.М.* Температурный режим затупленных клиньев и конусов в сверхзвуковом потоке с учетом теплопроводности материала // Уч. зап. ЦАГИ. 1990. Т. XXI. № 4. С. 11.
- 4. Зинченко В.И., Лаева В.И., Сандрыкина Т.С. Расчет температурных режимов обтекаемых тел с различными теплофизическими характеристиками // ПМТФ. 1996. Т. 37. № 5. С. 105.
- Зинченко В.И., Гольдин В.Д., Зверев В.Г. Численное моделирование влияния материалов тепловой защиты на характеристики сопряженного тепломассообмена при пространственном обтекании затупленных тел // ТВТ. 2018. Т. 56. № 5. С. 747.
- 6. Зинченко В.И. Математическое моделирование сопряженных задач тепломассообмена. Томск: Издво Томск. ун-та, 1985. 222 с.
- 7. Гришин А.М., Голованов А.Н., Зинченко В.И., Ефимов К.Н., Якимов А.С. Математическое и физическое моделирование тепловой защиты. Томск: Изд-во Томск. ун-та, 2011. 358 с.
- 8. Физические величины. Спр. / Под. ред. Григорьева И.С., Мейлихова Е.З. М.: Энергоатомиздат, 1991. 1232 с.
- Бражко В.Н., Ваганов А.В., Ковалева Н.А., Колина Н.П., Липатов И.И. Экспериментальные и расчетные исследования перехода в пограничном слое на затупленных конусах при сверхзвуковом обтекании // Уч. зап. ЦАГИ. 2009. Т. XL. № 3. С. 21.